

## بهینه سازی فرآیند سنتز آنتی اکسیدان A.O.2246 و حد واسطه فنلی آن

رضافارغی علمداری<sup>\*</sup>، نگار ذکری<sup>۲</sup>

۱- تهران- دانشگاه صنعتی مالک اشتر

(تاریخ وصول: ۸۷/۱۲/۲۶ ، تاریخ پذیرش: ۸۸/۵/۱۲)

### چکیده

استفاده از آنتی اکسیدان‌ها در فرمولاسیون پیشرانه‌های کامپوزیتی اجتناب ناپذیر می‌باشد. این مواد جهت ایجاد پایداری پیشرانه در مدت نگهداری و انبارداری به آن افزوده می‌شوند. در این مقاله، روش‌های مختلف سنتز آن (ترکیب ۲-ترشیو بوتیل-۴-متیل فنل) بررسی و سپس با در نظر گرفتن مزایا و معایب هر روش و قابلیت صنعتی شدن آنها، روش سنتز انتخاب و براساس آن ترکیب A.O.2246 سنتز شد. تولید متداول حد واسطه از واکنش ۴-کرزول با ترشیو بوتیل الکل در حضور اسید فسفریک محصولات جانبی تولید می‌کند که جداسازی آنها به مراحل استخراج پی در پی بازی و اسیدی و سپس انجام فرآیند تبلور مجدد نیاز دارد. در این تحقیق با بهینه سازی شرایط واکنش، ترکیب حد واسطه به صورت تک محصول با خلوص ۹۹٪ و با راندمان ۹۵٪ بدون انجام جداسازی سنتز شد. سپس از واکنش این حد واسطه با فرمالدئید ۳۵٪ در حضور اسید سولفوریک غلیظ و سدیم دودسیل سولفات ترکیب A.O.2246 تهیه شد. بالا بودن راندمان، شرایط ملایم واکنش و کوتاه بودن زمان واکنش و نیز امکان صنعتی شدن، از مزایای این روش می‌باشند.

**واژه‌های کلیدی:** پیشرانه، HTPB، آنتی اکسیدان، سنتز، ۲-ترشیو بوتیل-۴-متیل فنل، ۲ و ۴-متیل بیس ۶-ترشیو بوتیل فنل)، A.O.2246

راکتها می‌باشد. آنتی اکسیدانهای مختلفی جهت ممانعت از زوال<sup>۴</sup> این رزین

در اثر اکسیداسیون مورد آزمون و استفاده قرار گرفته است. آنتی اکسیدان A.O.2246 با نام شیمیایی ۲-۴-متیل بیس (۶-ترشیو بوتیل فنل) (۲)، با نقطه ذوب ۱۲۷-۱۲۳ °C پودر سفیدرنگی متمایل به صورتی است که دارای کاربردهای فراوانی

### ۱. مقدمه

پیشرانه مرکب، از سه جزء اصلی و بنیادی اکسید کننده، سوخت و بایندر تشکیل می‌شود که هر کدام از این اجزاء، نقش ویژه خود را در فرمول بندی پیشرانه ایفا می‌کنند. رزین پلی بوتادیان با هیدروکسیل انتهایی<sup>۳</sup> (HTPB) متداول‌ترین بایندر در پیشرانه‌های جامد مرکب مورد استفاده در موشکها و

\* E-mail: reza\_fareghi@yahoo.com

۱- Hydroxy Terminated Polybutadiene

۲- Aging

۱- استادیار

۲- کارشناس ارشد

## Archive of SID

در سال ۱۹۷۷ گروه تحقیقاتی گورویچ<sup>۵</sup> سنتز ترکیبات ۲ و ۶ - متیلن بیس (۴-۶- دی‌آلکیل فنل)ها را از واکنش ترکیبات فنلی مربوطه با دی متوكسی متان (فرمالدئید دی متیل استال) یا متیلال را با راندمان بالا و خلوص مطلوب، بدون تولید پساب گزارش کردند (شکل ۲). در این روش، برای تولید A.O.2246 آن، از کاتالیست اسیدی در محدوده دمایی ۳۰-۱۴۰°C استفاده شده است. روش دیگری که جهت سنتز ترکیب A.O.2246 گزارش شده است، واکنش ۲- ترشیو بوتیل- ۴- متیل فنل با متیلال در حضور اسید پرکلریک می‌باشد.<sup>۱۱</sup> اسید پرکلریک نسبت به اسیدسولفوریک قیمت بالاتری داشته و استفاده از آن برای تولید در مقیاس صنعتی مفروض به صرفه نیست.

تھیهی ترکیب A.O.2246 در یک فرآیند پیوسته<sup>۶</sup> از واکنش تراکمی ۲- ترشیو بوتیل- ۴- متیل فنل با متیلال در حضور کاتالیست رزین تبادل کنندهی کاتیونی (کوپلیمر سولفاته شده استیرین با دی وینیل بنزن) اسیدی برای نخستین بار در سال ۱۹۷۷ توسط گورویچ و همکارانش گزارش شد.<sup>۱۱</sup> در این روش، محلولی ۳۰٪ از ترکیب ۲- ترشیو بوتیل- ۴- متیل فنل در متیلال از داخل دو راکتور لوله ای<sup>۷</sup> که به صورت سری قرار داشتند و توسط کاتالیست رزین تعویض کاتیونی پر شده بودند، عبور داده می‌شدند. دمای راکتور اول ۶۰°C و دومی در ۸۰°C- ۵۰°C تنظیم شدند. از مزایای این روش، راندمان بالا، خلوص مطلوب و زمان پائین ماندگاری مواد واکنش دهنده در راکتور است. و از معایب این روش، پیچیدگی سیستم عملیاتی، قابل دسترس نبودن کاتالیزور و نبود اطلاعات علمی کافی در خصوص بازیابی مجدد کاتالیست است.

در سال ۱۹۷۹ یک گروه تحقیقاتی فرانسوی از واکنش تراکمی ۲- ترشیو بوتیل- ۴- متیل فنل با تری اکسی متیلن (تریمر فرمالدئید) در محلول آبی فرمیک اسید، آنتی اکسیدان A.O. 2246 را سنتز کردند.<sup>۱۲</sup> معایب این روش، شامل راندمان بسیار پائین (۴۰٪) و تولید پساب (به خاطر انجام واکنش در محلول آبی فرمیک اسید) است.

در این پژوهش، با توجه به بررسی و داده‌های ارائه شده در منابع مربوطه [۱-۱۲] روش ارائه شده در مرجع [۸] به دلیل ساده بودن سیستم تولیدی و نتایج درخشان و مطلوب آن (هم در مقیاس آزمایشگاهی و هم نیمه صنعتی) به منظور سنتز آنتی اکسیدان A.O.2246 انتخاب شد.

در صنایع نظامی و غیر نظامی می‌باشد<sup>[۱]</sup>. از جمله کاربردهای غیرنظامی این ترکیب می‌توان به کاربرد آن به عنوان آنتی اکسیدان و پایدار کننده در صنایع لاستیک سازی و پلاستیک سازی اشاره کرد. همچنین از این ترکیب در تولید رزین‌ها و مواد صنعتی به وفور استفاده می‌شود<sup>[۲]</sup>. در صنایع نظامی نیز از این ترکیب به عنوان پایدار کننده رزین HTPB و افزایش طول عمر سوت مرکب استفاده می‌گردد<sup>[۳-۶]</sup>. این آنتی اکسیدان که از جمله متداول‌ترین آنتی اکسیدان‌های HTPB می‌باشد، یک ترکیب فنلی است که با دادن یک رادیکال هیدروژن به رادیکال پر اکسی پلیمر، به رادیکال پایدارتری تبدیل می‌شود.

### ۱-۱- بررسی روش‌های سنتز آنتی اکسیدان A.O.2246

روش‌های مختلفی برای سنتز ترکیب A.O.2246 در منابع، ذکر شده است. اولین بار در ۱۹۵۱ گروه تحقیقاتی دیویس<sup>۱</sup> با استفاده از واکنش تراکمی ۲- ترشیو بوتیل- ۴- متیل فنل(۱) با محلول آبی فرمالدئید در حضور کاتالیزور HCl غلیظ سنتز ترکیب A.O.2246 را گزارش کردند (شکل ۱). روش فوق، دارای معایبی نظری راندمان نسبتاً پائین، احتمال تولید پساب آلوده (به خاطر استفاده از حلal آلی هپتان)، طولانی بودن زمان واکنش و در نهایت مفروض به صرفه نبودن روش تولید می‌باشد.

در سال ۱۹۵۷ سالیوان<sup>۲</sup> و همکارانش واکنش فوق را در حضور کاتالیزور سولفوریک اسید ۹۶٪ و همچنین p- تولوئن سولفونیک اسید به جای سولفوریک اسید با راندمان حدود ۹۹٪ گزارش دادند.<sup>[۸]</sup>

در سال ۱۹۵۴ گروه تحقیقاتی پالمن<sup>۳</sup> و همکارانش از پارافرمالدئید به جای محلول آبی فرمالدئید برای انجام واکنش تراکمی استفاده کردند.<sup>[۹]</sup> این روش به دلیل پائین بودن راندمان (۵۵٪)، خلوص نسبتاً پائین محصول و طولانی بودن زمان انجام واکنش با وجود اینکه از لحاظ تولید پساب مشکلی ندارد مفروض به صرفه نیست. گروه تحقیقاتی بیگی<sup>۴</sup> و همکارانش واکنش تراکمی-۲- ترشیو بوتیل- ۴- متیل فنل را با پارافرمالدئید در حضور مونتموریلونیت KSF به عنوان کاتالیزور ناهمگن گزارش کردند.<sup>[۱۰]</sup> در این روش، محصولات جانبی زیادی تولید می‌شود که جداسازی محصول از آنها مشکل بوده و راندمان تولید نیز پائین می‌باشد.

۱- Davis

۲- Salivan

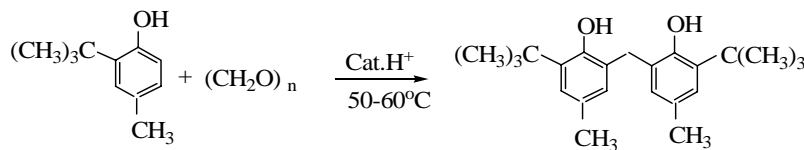
۳- Palman

۴- Bigi

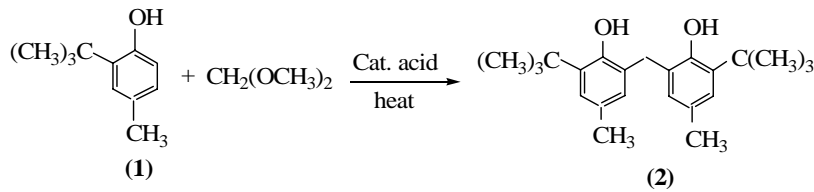
۵- Gurovich

۶- Continues

۷- Tubular



شکل ۱- سنتز ترکیب A.O.2246 از طریق -۲-ترشیوبوتیل-۴- متیل فنل و محلول آبی فرمالدئید [۷].



شکل ۲- سنتز ترکیب A.O.2246 از واکنش تراکمی -۲-ترشیوبوتیل-۴- متیل فنل با متیال [۱۱].

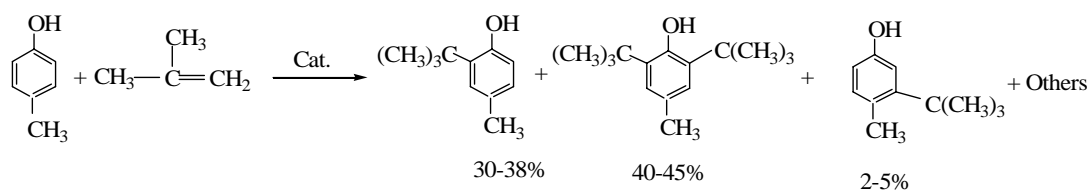
جدول ۱- مقایسه روش های سنتز ترکیب A.O.2246 از واکنش تراکمی -۲-ترشیوبوتیل-۴- متیل فنل با واکنشگرهای مختلف.

ردیف	واکنشگر	کاتالیزور	نوع سیستم	زمان واکنش	راندمان	تولید پساب	صرفه اقتصادی	مرجع
۱	محلول آبی فرمالدئید	غلیظ HCl	batch	۳ ساعت	٪۸۷	دارد	ندارد	[۷]
۲	محلول آبی فرمالدئید	غلیظ H <sub>2</sub> SO <sub>4</sub>	batch	۲ ساعت	٪۹۹	دارد	دارد	[۸]
۳	محلول آبی فرمالدئید	p- تولوئن سولفونیک اسید	batch	۲ ساعت	٪۹۸٪	دارد	ندارد	[۸]
۴	پارافرمالدئید	گازی HCl	batch	۲۴ ساعت	٪۵۵	دارد	ندارد	[۹]
۵	پارافرمالدهید	مونتموریلونیت KSF	batch	۴ ساعت	٪۳۵	دارد	ندارد	[۱۰]
۶	دی متوكسی متان	غلیظ H <sub>2</sub> SO <sub>4</sub>	batch	۲ ساعت	٪۹۸	دارد	دارد	[۱۱]
۷	دی متوكسی متان	HClO <sub>4</sub>	batch	۳ ساعت	٪۹۷	دارد	ندارد	[۱۱]
۸	دی متوكسی متان	رزین تعویض کاتیونی	continous	--	٪۹۹	دارد	ندارد	[۱۱]
۹	تریاکسی متیلن	HCO <sub>2</sub> H	batch	۱۰ ساعت	٪۴۰	دارد	دارد	[۱۲]

این ترکیب، واکنش -۲-کرزول و یا مخلوطی از کرزول ها با گاز ایزوپوتن در یک محیط اسیدی معمولاً سولفوریک اسید یا فسفریک اسید می باشد (شکل ۳) [۲]. این روش در مواردی که گاز ایزوپوتن و مخلوط کرزول ها در دسترس باشد روش مقرن به صرفه ای است. از معایب این روش، می توان به تولید محصولات جانبی، خالص سازی محصول، پیچیدگی فرآیند تولید، استفاده از تجهیزات خاص تولید و راندمان بسیار پائین محصول واسطه اشاره کرد.

## ۱- بررسی روش های سنتز حدواتسط ۲- ترشیوبوتیل-۴- متیل فنل

همانطور که در قسمت ۱-۱ نیز مطرح شد ترکیب حد واسط در سنتز ترکیب A.O.2246، ماده ای -۲-ترشیوبوتیل-۴- متیل فنل است که علیرغم اینکه امکان خرید خارجی آن وجود دارد، به دلیل صرفه اقتصادی، بایستی تولید شود. روش های متعددی در منابع برای تولید این ترکیب گزارش شده است [۱۳-۲۷]. متداولترین روش صنعتی

شکل ۳- واکنش *p*-کرزول با ایزوپوتن [۲].

شکل ۴: مراحل شیمیایی تولید حد واسط-۲-ترشیو بوتیل-۴- متیل فنل و محصولات جانبی از ماده اولیه MTBE و *p*-کرزول [۱۹]. استفاده از ترشیو بوتیل الكل جهت آلکیلاسیون فنل‌ها از روش‌های شناخته شده ترشیو بوتیلاسیون می‌باشد. برای نخستین بار، هارت<sup>۵</sup> و همکارانش در سال ۱۹۴۹، تولید ۲-ترشیو بوتیل-۴- متیل فنل را از واکنش *p*-کرزول با ترشیو بوتیل الكل توسط فسفیریک اسید ۱۰۰٪ با راندمان ۶۳٪ گزارش کردند (شکل ۵) [۲۰]. این روش، علیرغم سهولت فرآیند تولید، به دلیل کامل نبودن واکنش و همراه بودن *p*-کرزول واکنش نداده دارای راندمان پائین بوده و برای جداسازی محلول از ماده اولیه واکنش نداده دو مرحله استخراج اتری با ۱۰٪ NaOH و ۱۰٪ HCl و نهایتاً تبخیر اتر و خشک کردن محصول لازم است. تولید محصول جانبی ۳-ترشیو بوتیل-۴- متیل فنل نیز یکی از معایب این روش است که جداسازی آن تنها از طریق تبلور مجدد در حلال اتانول امکان پذیر است.

با توجه به مشکلات روش هارت، تحقیقات زیادی در خصوص بهینه سازی استفاده از ترشیو بوتیل الكل گزارش شده است. استفاده از کاتالیست‌های تعویض یونی [۲۱ و ۲۲]، هتروپلی اسیدها روی اکسیدهای فلزی جامد [۲۳-۲۵]، TPA/ZrO<sub>2</sub> و WO<sub>x</sub>/ZrO<sub>2</sub> [۲۶] برای این منظور گزارش شده‌اند.

در تمامی روش‌های گزارش شده علاوه بر محصول اصلی، تولید محصولات جانبی ناخواسته باعث لزوم انجام فرآیندهای جداسازی می‌شود. از طرفی آماده سازی کاتالیست و پرهزینه بودن آنها باعث شده که این روش‌ها عموماً به لحاظ صنعتی، مورد توجه نباشند. عیب عمدی دیگر این روش‌ها پائین بودن میزان تبدیل *p*-کرزول به محصول می‌باشد که باعث می‌شود ماده اولیه‌ی واکنش نداده نیز همراه محصول اصلی باقی بماند.

روش دیگری که برای سنتز حد واسط ۲-ترشیو بوتیل-۴- متیل فنل گزارش شده است بر اساس فرآیند آلکیلاسیون فریدل کرافتس و واکنش با ترشیو بوتیل کلرید در حضور کاتالیزور AlCl<sub>3</sub> می‌باشد [۱۳]. استفاده از این روش علیرغم سادگی و سرعت واکنش بالا به علت داشتن معایبی نظر تولید محصول جانبی ۶-ترشیو بوتیل-۴- متیل فنل، پائین بودن راندمان تولید محصول اصلی، ایجاد خوردگی، شرایط سخت واکنش (بدلیل فعالیت زیاد AlCl<sub>3</sub>) و در دسترس نبودن ترکیب ترشیو بوتیل کلرید به عنوان ماده اولیه می‌باشد [۱۴].

به دلایل در دسترس نبودن ایزوپوتن عموماً از ترشیو بوتیل الكل و متیل ترشیو بوتیل اتر (MTBE) به عنوان منبع تولید ایزوپوتن استفاده می‌شود. MTBE یک منبع خوب برای تولید ایزوپوتن است که در اثر تجزیه، به ایزوپوتن و محصول جانبی مтанول تبدیل می‌شود. اخیراً گزارش‌های متعددی در خصوص واکنش *p*-کرزول با MTBE ارائه شده است (شکل ۴). اکثر این تحقیقات بر اساس استفاده از رزینهای تعویض کاتیونی (نظیر: AC-10 [۱۵]، وافاتیت<sup>۱</sup> Ok-80 [۱۶]، آمبرلیست<sup>۲</sup> A-15 [۱۷]، لوواتیت<sup>۳</sup> SPc120 [۱۸]) به عنوان کاتالیست می‌باشند. اخیراً یادا<sup>۴</sup> و همکارانش آلکیلاسیون *p*-کرزول را با استفاده از MTBE در حضور کاتالیست اسید قوی UDCaT-1 گزارش کردند [۱۹]. بر اساس نتایج گزارش شده، راندمان تبدیل *p*-کرزول به محصول حداکثری بسیار پائین (در حد ۴۵٪) می‌باشد. علاوه بر آن، فرآیند تهییه و آماده سازی کاتالیست بسیار سخت و مشکل بوده و از طرفی متابولول تولید شده در محیط، باعث غیرفعال شدن سطح کاتالیست می‌شود که باستی سریعاً از محیط خارج شود [۱۶]. از جمله معایب دیگر این روش، استفاده از MTBE است که خود از ماده اولیه ترشیو بوتیل الكل تولید می‌گردد.

۵- Hart

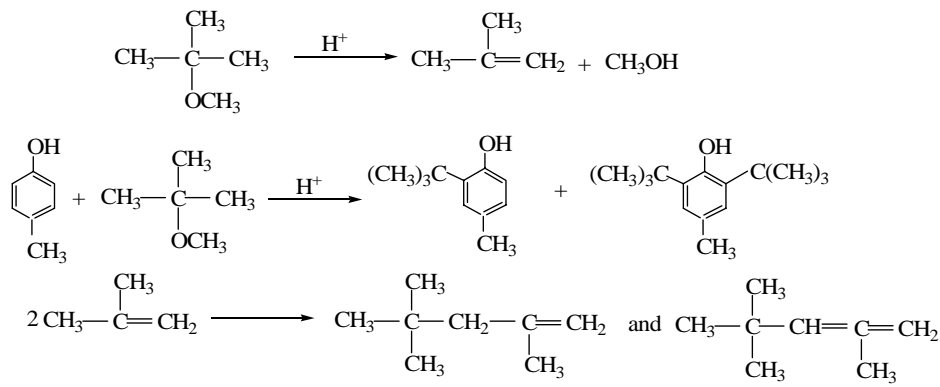
۶- Conversion

۱- Wofatit Ok-80

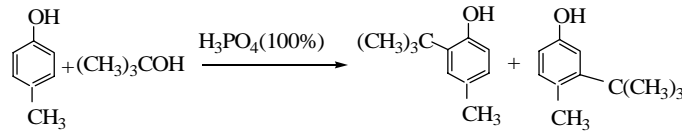
۲- Amberlyst-15

۳- LewatitSPc120

۴- Yadav



شکل ۴- مراحل شیمیایی تولید حد واسطه ۲-ترشیو بوتیل-۴- متیل فنل و محصولات جانبی از ماده اولیه MTBE و p-کرزول [۱۹]



شکل ۵- واکنش p-کرزول با ترشیو بوتیل الکل در حضور فسفریک اسید .٪۱۰۰

(p-کرزول و ترشیو بوتیل الکل و سدیم دودسیل سولفات) و یا از بازار داخلی (شرکت دی شیمی) (فسفریک اسید و سولفوریک اسید) تهیه شدند. دستگاه FT-IR از نوع Perkin Elmer 1710 و دستگاه NMR از نوع FT-NMR Bruker (100 MHz) با حلal CDCl<sub>3</sub> و شاهد TMS مورد استفاده قرار گرفت. طیف‌های جرمی، با دستگاه HPLC از نوع 1000EX QP 1000EX TEIHIE شدند. برای اندازه‌گیری HPLC از دستگاه Waters در λ=220nm، از سنترون NovaPack C18(150\*3.9mm)، با فاز متحرک استونیتریل- آب (25:75) و با سرعت جريان فاز متحرک 0.8 ml/min استفاده شد. اندازه‌گیری نقطه ذوب با استفاده از دستگاه نقطه ذوب 8103 Digital Melting Point IA انجام شد.

## ۲-۲- سنتز ترکیب واسطه ۲- ترشیو بوتیل-۴- متیل فنل، با استفاده از فسفریک اسید ٪۱۰۰ [۲۰]

در یک بالن ۲۵۰ml مجهز به کندانسور برگشتی و یک همزن مغناطیسی که درون حمام رونگ با دمای ۶۵ °C ۶۰ قرار دارد، مقدار ۵/۴ گرم (۵۰ mmol) پاراکرزول، ۲۰ گرم (۲۰۰ mmol) اسید فسفریک ۱۰۰٪ و ۴ گرم (۵۴/۷۹ mmol) ترشیو بوتیل الکل ریخته و اجازه داده شد تا به مدت ۸

با مقابسه‌ی روش‌های ذکر شده به نظر می‌رسد استفاده از ایزوپوتن به صورت مستقیم و یا استفاده از ترشیو بوتیل الکل در حضور فسفریک اسید، روش‌های مناسبی باشند. با توجه به موارد و مشکلات ذکر شده برای روش مبتنی بر ایزوپوتن بدلالی عدم دسترسی به این ترکیب، استفاده از فرآیند گازی، پیچیده بودن فرآیند جadasازی محصول از محصولات جانبی این روش فقط برای تولید در مقیاس بسیار بالا (صنعتی) مورد توجه می‌باشد. بر همین اساس، در این تحقیق تصمیم گرفته شد که از ترشیو بوتیل الکل در حضور فسفریک اسید برای تهیه ۲- ترشیو بوتیل-۴- متیل فنل استفاده شود. با توجه به این که در روش استفاده از ترشیو بوتیل الکل در حضور فسفریک اسید راندمان واکنش پائین بوده و مراحل متعدد جadasازی باعث پیچیدگی فرآیند سنتز حدواتسط شده و از طرفی فسفریک اسید ۱۰۰٪ در دسترس نمی‌باشد. در این تحقیق تصمیم گرفته شد که این روش بهینه سازی شود.

## ۲. بخش تجربی

### ۲-۱- مواد و تجهیزات

مواد اولیه مصرفی جهت انجام واکنش‌ها یا در آزمایشگاه تهیه شدند (۲- ترشیو بوتیل-۴- متیل فنل) و یا از شرکت مرک آلمان

## Archive of SID

و ۰/۴ گرم (۱/۳۸ mmol) سدیم دو دسیل سولفات ریخته شد. پس از گرم کردن مخلوط هنگامی که دما به ۸۵ درجه سانتی گراد رسید، ۱۶/۴ گرم (۱۰۰ mmol) ماده حد واسط ۲-ترشیو بوتیل-۴- متیل فنل در شش مرحله طی مدت یک ساعت به درون راکتور افزوده شد. به منظور کامل شدن واکنش اجازه داده شد که سیستم به مدت یک ساعت دیگر در همان دما و در شرایط رفلکس بهم بخورد. به منظور استحصال محصول خالص محتويات بالن را سرد کرده و از صافی شیشه ای عبورداده شد. مایع صاف شده طی دو مرحله و هر بار با ۱۰۰ میلی لیتر آب مقطر شستشو داده و به مدت ۴۸ ساعت در دمای ۶۰ درجه سانتی گراد در داخل آون قرار گرفت تا رطوبت محصول به طور کامل از آن خارج شود و محصول کاملاً خشک به دست آید. سپس محصول به دست آمده، آسیاب شده و از الک مش ۱۰۰ گذرانده شد. محصول خالص و خشک به صورت پودر سفید متمایل به کرم رنگ با راندمان ۹۹/۶ درصد، خلوص ۹۸/۱۱ درصد و نقطه ذوب ۱۲۸-۱۳۰ درجه سانتی گراد (منابع  $^{\circ}\text{C}$  ۱۱۲۳-۱۲۷) به دست آمد.

<sup>1</sup>H-NMR(CDCl<sub>3</sub>): δ<sub>H</sub>(ppm): 6.94(4H,s,-C<sub>6</sub>H<sub>2</sub>), 5.01(2H,s,-OH), 3.85(2H,s,-CH<sub>2</sub>), 2.21(6H,s,-CH<sub>3</sub>), 1.35(18H,s,-C(CH<sub>3</sub>)<sub>3</sub>). <sup>13</sup>C-NMR(CDCl<sub>3</sub>): δ<sub>C</sub>(ppm): 150(C1), 136.23(C4), 129.69(C6), 128.61(C2), 126.61(C3), 126.33(C5), 34.20(C(CH<sub>3</sub>)<sub>3</sub>), 32.07(-CH<sub>2</sub>), 29.94(C(CH<sub>3</sub>)<sub>3</sub>), 20.63(-CH<sub>3</sub>). FT-IR(KBr):  $\bar{v}$  (cm<sup>-1</sup>): 3650, 3420, 2960, 1485, 1450, 1370, 1235, 875. MS(ESI)m/z: 340 (C<sub>23</sub>H<sub>32</sub>O<sub>2</sub>,M<sup>+</sup>), 297(C<sub>20</sub>H<sub>25</sub>O<sub>2</sub>), 177 (C<sub>12</sub>H<sub>17</sub>O), 149 (C<sub>11</sub>H<sub>17</sub>), 121(C<sub>8</sub>H<sub>9</sub>O), 57(C<sub>4</sub>H<sub>9</sub>). HPLC: R.T.14.98 min.

### ۳. نتایج و بحث

#### ۱-۳- بهینه سازی سنتز ترکیب A.O.2246

برای انتخاب روش یا روش‌های بهینه سنتز ترکیب A.O.2246 تمامی روش‌های ذکر شده در قسمت ۱-۱ جدول (۱) مقایسه شده‌اند. پارامترهای مهم در انتخاب روش بهینه عبارتند از: راندمان واکنش، مدت زمان انجام واکنش، عدم تولید پساب، در دسترس بودن مواد اولیه و مقررین به صرفه بودن روش. همانطور که مشخص است، فقط موارد اشاره شده در ردیف های ۲، ۶ و ۸ جدول (۱) از لحاظ اقتصادی قابل توجیه بوده و می‌توان از این روشها برای سنتز ترکیب A.O.2246 استفاده کرد. روش ذکر شده در ردیف ۸ یعنی

ساعت کل مجموعه توسط همزن مغناطیسی بهم بخورد. پس از اتمام واکنش، محتويات بالن درون یک بشر محتوى آب مقطر قرار داده شد. توسط اتر (۲×۱۰۰ ml) عمل استخراج انجام گرفت. محصول حل شده در اتر در یک مرحله دیگر با محلول سود ۱۰٪ (۱۰۰ml) استخراج گردید. فاز آبی را با کلریدریک اسید ۱۰٪ خنثی کرده و عمل افزایش اسید تا جایی ادامه می‌باید که محیط اسیدی شود (pH توسط کاغذ تورنسل کنترل شد). در مرحله بعدی محلول اسیدی شده توسط اتر استخراج شده، توسط کلرید کلسیم بی آب خشک می‌شود و حلal آلی آن توسط روتاری تبخیر شد. بدین ترتیب محصول مورد نظر به صورت کریستال های شیری رنگ با راندمان ۶۴٪، خلوص ۹۸/۵ درصد و نقطه ذوب  $^{\circ}\text{C}$  ۴۹-۵۲ تولید شد. (منابع  $^{\circ}\text{C}$  ۵۰-۵۳) [۲۸]

#### ۲-۳- سنتز ترکیب واسطه‌ی ۲ - ترشیو بوتیل-۴- متیل فنل از روش بهینه

درون بالن ۲۵۰ ml مجهر به یک همزن مغناطیسی که درون یک حمام رونگ با دمای  $^{\circ}\text{C}$  ۶۵-۶۰ قرار دارد، مقدار ۵/۴ گرم (۵۰ mmol) پاراکروزول، ۲۰ گرم (۱۷۰ mmol) فسفریک اسید ۱۰٪ و ۶ گرم (۸۰ mmol) ترشیو بوتیل الكل ریخته شد. محتويات بالن پس از ۸ ساعت بهم خوردن، درون قیف استخراج ریخته شد و محلول توسط ۲۵ ml اتر استخراج شد. پس از تبخیر حلal توسط روتاری تحت خلاء محلول باقی مانده به داخل بشر منتقل شده و اجازه داده می‌شود تا کریستال های ترکیب ۲-ترشیو بوتیل-۴- متیل فنل در دمای محیط تشکیل شوند. این ماده به صورت کریستال های شیری رنگ با راندمان ۹۵٪ و خلوص ۹۹٪ با نقطه ذوب  $^{\circ}\text{C}$  ۴۹-۵۲ تولید شد.

<sup>1</sup>H-NMR (CDCl<sub>3</sub>): δ<sub>H</sub>(ppm): 6.42-7.04(3H, m, ph), 4.61(1H,s,OH), 2.24(3H,s,CH<sub>3</sub>), 1.30(9H,s,C(CH<sub>3</sub>)<sub>3</sub>). FT-IR(KBr):  $\bar{v}$  (cm<sup>-1</sup>): 3620, 3415, 2960, 2875, 1480, 1440, 1370, 1235, 870 cm<sup>-1</sup>. HPLC: R.T.16.3 min.

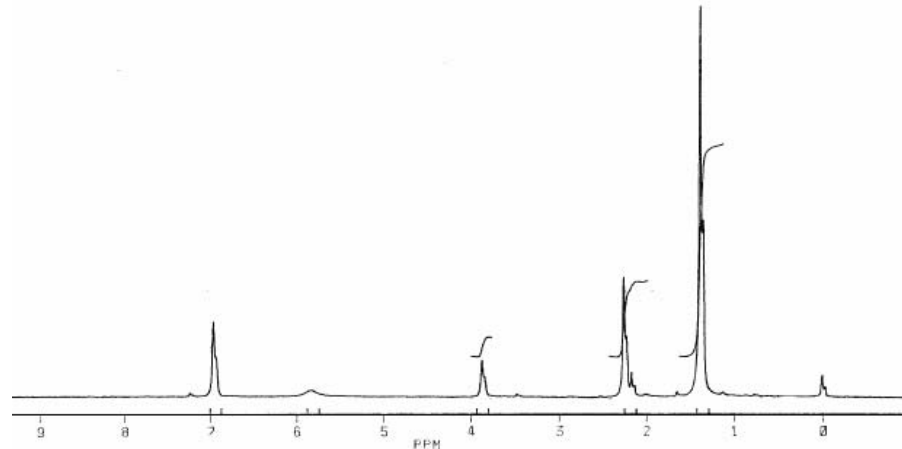
#### ۴-۲- سنتز آنتی اکسیدان A.O.2246

درون یک بالن ته گرد دو دهانه ۲۵۰ ml مجهر به کندانسور برگشتی و همزن مغناطیسی که درون حمام رونگ قرار گرفته، مقدار ۲۰ ml آب مقطر، ۰/۹ گرم (۸/۴ mmol) سولفوریک اسید صنعتی (۰/۹۲)، ۴/۲۵ گرم فرمالین (۰/۳۵٪)

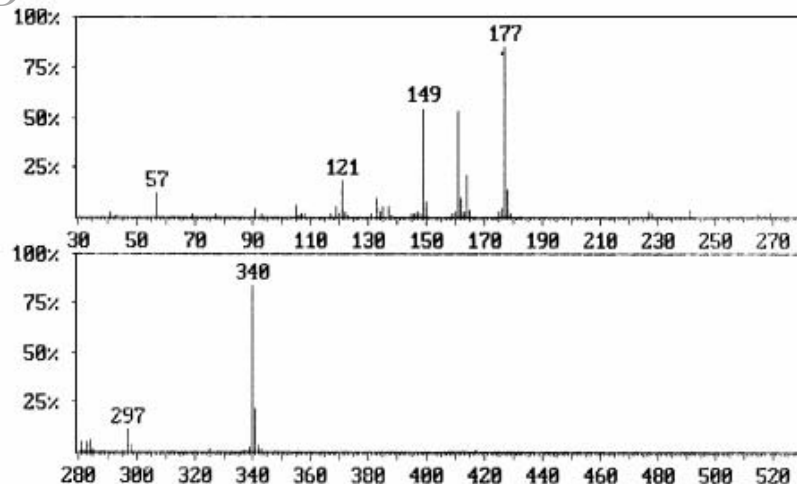
کننده، نتایج بسیار مطلوبی در بر داشت. با توجه به اهمیت استفاده از مواد صنعتی تولید داخل کشور در این تحقیق از  $\text{H}_2\text{SO}_4$  ۹۲٪ و فرمالین ۳۵٪ صنعتی استفاده شد و خوشبختانه محصول مورد نظر بصورت بهینه تولید شد. برای اثبات ستر آنتی اکسیدان از روش‌های طیف سنجی NMR، MS، و FT-IR استفاده شد.

طیف  $^1\text{H-NMR}$  A.O.2246 سنتز شده، در شکل (۶) نشان داده شده است. پیک یک تایی مربوط به ناحیه ۳.۸۵ ppm مربوط به گروه متیلن( $\text{CH}_2$ -) می‌باشد که دو حلقه‌ی حدواسط از طریق آن به هم‌دیگر متصل شده‌اند و بطور شاخص نشانگر تشکیل محصول می‌باشد. انگرال مربوط به پروتونها و ارتباط آنها با هم‌دیگر به خوبی سنتز محصول A.O.2246 را تأیید می‌کند. سایر اطلاعات طیفی  $^1\text{H-NMR}$  این ترکیب در بخش تجربی آورده شده است: طیف MS آنتی اکسیدان A.O.2246 در شکل (۷) آورده شده است. پیک مربوط به یون مولکولی ( $\text{M}^+$ ) در ۳۴۰ ظاهر شده است که تأیید کننده تشکیل محصول می‌باشد. در شکل ۸، انواع اجزاء شکست ترکیب و نحوه شکست آنها نشان داده شده است. مشخصات طیفی FT-IR در بخش تجربی آورده شده است. جهت تعیین خلوص نمونه سنتز شده از آنالیز HPLC و بر اساس تهیه منحنی کالیبراسیون توسط نمونه استاندارد استفاده شد. اندازه گیری‌های HPLC خلوص بالای ۹۸٪ را برای ترکیب نشان داد.

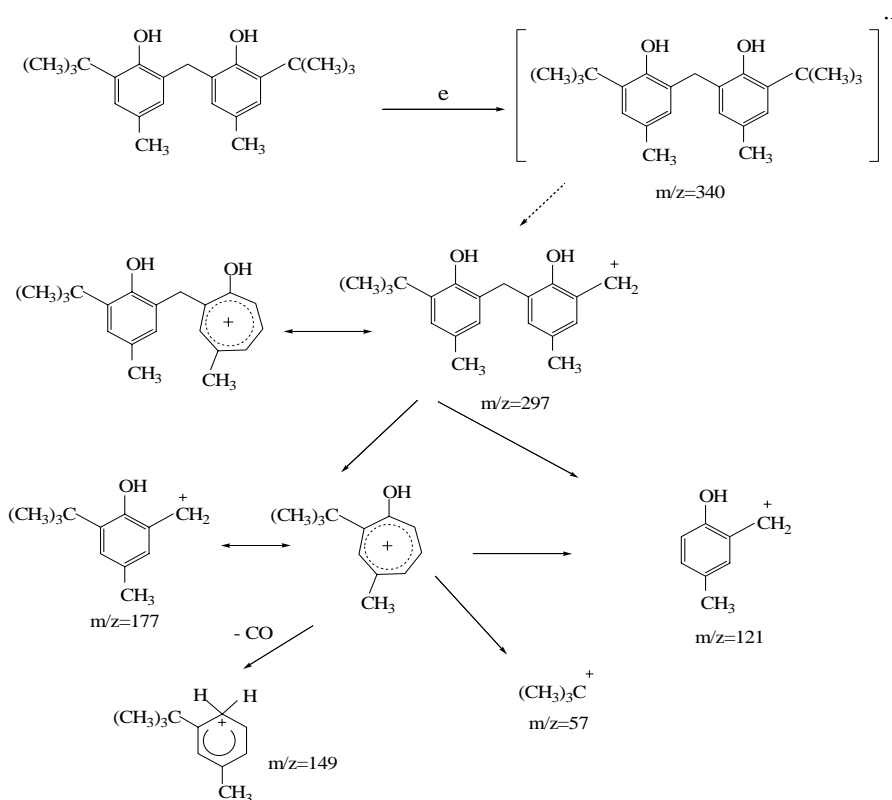
استفاده از یک سیستم پیوسته با وجود مقرون به صرفه بودن و عدم ایجاد مشکلات زیست محیطی، با توجه به پیچیدگی‌های سیستم عملیاتی خیلی مناسب به نظر نمی‌رسد و تاکنون در هیچ منبعی تولید صنعتی آن به روش پیوسته گزارش نشده است. از بین روش‌های موجود در ردیف‌های ۲ و ۶ روش ذکر شده در ردیف ۶ جدول یعنی انجام واکنش تراکمی-۲-ترشیو بوتیل-۴- متیل فنل با متیل‌بهدلیل ساده بودن سیستم تولیدی و عدم تولید پساب به عنوان یکی از گزینه‌های جهت انجام سنتز A.O.2246 انتخاب گردید. تهیه و سنتز ترکیب A.O.2246 از مسیر مواد اولیه متیل‌اکتن و ۲-ترشیو بوتیل-۴- متیل فنل (ردیف ۶، جدول ۱) در عمل با مشکلات مواجه شد و تکرار این آزمایش در شرایط مختلف و متفاوت منجر به نتیجه مطلوب و مورد نظر نبود و راندمان تولید محصول با این روش حدود ۴۰ درصد به دست آمد. به نظر می‌رسد علت پائین بودن راندمان، حساسیت بسیار بالای متیل‌اکتن به رطوبت و ناپایداری آن می‌باشد که باعث می‌شود متیل‌اکتن بیشتر به سمت تعادل با متانول و فرمالین پیش رود. مشکل دیگری که در استفاده از این روش وجود دارد عدم دسترسی و مقرون به صرفه نبودن استفاده از متیل‌اکتن می‌باشد. این ترکیب از واکنش متانول و فرمالین تهیه می‌شود که به دلیل پیچیدگی فرآیند تولید و پائین بودن راندمان به هیچ وجه توجیه اقتصادی ندارد. تولید ترکیب A.O.2246 از مسیر روش ذکر شده در ردیف ۲ جدول (۱) یعنی با استفاده از مواد اولیه ۲-ترشیو بوتیل-۴- متیل فنل و محلول ۳۷٪ فرمالدئید (فرمالین) و در حضور سولفوریک اسید به عنوان کاتالیزور و سدیم دودسیل سولفات به عنوان ماده توزیع



شکل ۶- طیف  $^1\text{H-NMR}$  محصول A.O.2246 سنتز شده.



شکل ۷- طیف MS ترکیب AO-2246 سنتز شده.



شکل ۸- نحوه شکست اجزء در طیف جرمی.

توسط محلول سود بهاره ای از مخلوط واکنش به صورت نمک استخراج می شود. اما وجود مراحل متعدد شستشو و استخراج حدوات سود با سود و اسید در تولید مقیاس بالا، کاهش راندمان تولید و افزایش هزینه های ساخت را دربردارد. از این رو آزمایشاتی با هدف کاهش تعداد مراحل استخراج، افزایش راندمان و کاهش هزینه ساخت طراحی شد، به عبارت دیگر در واکنش تولید

### -۲-۳- بهینه سازی ترکیب واسطه‌ی ۲- ترشیو بوتیل-

#### -۴- متیل فنل

بهینه سازی سنتز ترکیب واسطه‌ی ۲- ترشیو بوتیل-۴- متیل فنل از جمله نوآوری های انجام شده در این تحقیق می باشد. از آنجا که خصلت اسیدی پاراکرزول از محصول حد واسط بیشتر است بنابراین با چند مرحله استخراج

محصول حد واسط ناخالص با راندمان ۴۰٪ (٪/۲۰٪) محصول مورد نظر را نمود (جدول ۲، ردیف ۳). در بررسی دیگری که بر روی تاثیر افزایش غلظت اسید فسفریک بر روی راندمان تولید حد واسط به عمل آمد مشخص شد که با افزایش غلظت اسید امکان افزایش راندمان وجود ندارد (جدول ۲، ردیف ۴). این نتیجه منطقی بنظر می‌رسد، بخاطر این که حضور آب در فسفریک اسید ۸۵٪ است که باعث افت راندمان می‌شود و با افزایش میزان اسید مصرفی برابر  $p$ -کروزول، پس از انجام مراحل شستشو و جداسازی محصول، باعث تولید حد واسط با راندمان ۹۵٪ می‌شود (جدول ۲، ردیف ۶).

ترکیب واسطه با استفاده از تغییر غلظت مواد اولیه بخصوص ترشیوپوتیل الكل سعی شد تا حد امکان واکنش را به سمت مصرف کامل پاراکروزول پیش برد تا لزوم انجام فرآیند استخراج از بین برود؛ بر همین اساس واکنش‌هایی برای بهینه سازی غلظت مواد واکنش دهنده انجام شدند که در جدول (۲) نشان داده شده‌اند. با توجه اینکه فسفریک اسید ۱۰۰٪ در دسترس نمی‌باشد در این تحقیق، از فسفریک اسید ۸۵٪ صنعتی تولید داخل کشور استفاده شد. نتیجه انجام واکنش بر اساس روش هارت پس از انجام استخراج‌های بازی و اسیدی با راندمان بسیار پائین (٪/۳۰) تولید محصول حد واسط را نمود (جدول ۲، ردیف ۲). علت افت راندمان نسبت به راندمان گزارش شده (٪/۶۳/۴) به علت استفاده از فسفریک اسید ۸۵٪ به جای اسید ۱۰۰٪ می‌باشد. برای بررسی نقش مراحل استخراج‌ها، حذف مراحل استخراج تولید

جدول ۲- آزمایش‌های انجام شده در خصوص بهینه سازی تولید ماده حد واسط

نتیجه‌ی آزمایش	راندمان (%)	مقدار مواد اولیه			هدف	شماره آزمایش
		ترشیوپوتیل الكل	فسفریک اسید	پاراکروزول		
حد واسط پس از استخراج‌های متعدد توسط $NaOH$ و $HCl$ ٪/۱۰٪ با اتر و سپس تبخیر و خشک شدن با خلوص ۹۸/۵ بدست آمد.	۶۴	۴ گرم (٪/۰۵۴ مول)	۲۰ گرم (٪/۱۰۰ مول)	۵/۴ گرم (٪/۰۰۵ مول)	تولید حد واسط با استخراج‌های متعدد	۱
به دلیل استفاده از فسفریک اسید صنعتی و استخراج‌های متعدد با سود و اسید راندمان تولید حد واسط با افت شدید مواجه بود و ناخالصی زیادی داشت.	۳۰	۴ گرم (٪/۰۵۴ مول)	۲۰ گرم (٪/۰۸۵ مول)	۵/۴ گرم (٪/۰۰۵ مول)	تولید حد واسط با استخراج‌های متعدد	۲
ماده زرد رنگی تولید شد که روی کاغذ TLC ۳ نقطه (حد واسط تولید شده، پاراکروزول واکنش نداده و -ترشیوپوتیل ۴- متیل فنل) تشکیل گردید که نشان‌دهنده ناخالصی زیاد بود.	۲۰	۴ گرم (٪/۰۵۴ مول)	۲۰ گرم (٪/۰۸۵ مول)	۵/۴ گرم (٪/۰۰۵ مول)	حذف استخراج با سود و اسید	۳
ماده زرد رنگی پس از استخراج با اتر و شستشو با آب به دست آمد که روی کاغذ TLC همان ناخالصی‌های آزمایش قبل تکرار شد.	۲۲	۴ گرم (٪/۰۵۴ مول)	۲۵ گرم (٪/۰۸۵ مول)	۵/۴ گرم (٪/۰۰۵ مول)	بررسی تأثیر غلظت اسید بر روی خلوص حد واسط	۴
حد واسط کریستالی سفیدرنگ پس از استخراج با اتر و شستشو با آب به دست آمد که روی کاغذ TLC مقدار ناخالصی بسیار کمتر از آزمایش قبل بود.	۸۹	۵/۲ گرم (٪/۰۰۷ مول)	۲۰ گرم (٪/۰۱۷ مول)	۵/۴ گرم (٪/۰۰۵ مول)	بررسی تغییر غلظت ترشیوپوتیل الكل	۵
میزان تبدیل $p$ -کروزول ۱۰۰٪ و بصورت کامل انجام شد. حد واسط کریستالی سفیدرنگ پس از استخراج با اتر و شستشو با آب به دست آمد که روی کاغذ TLC فقط یک نقطه ظاهر شد و اثری از ناخالصی وجود نداشت.	۹۵	۶ گرم (٪/۰۰۸ مول)	۲۰ گرم (٪/۰۸۵ مول)	۵/۴ گرم (٪/۰۰۵ مول)	بررسی تغییر غلظت ترشیوپوتیل الكل	۶
حد واسط کریستالی سفید مایل به صورتی پس از استخراج با اتر و شستشو با آب به دست آمد که روی کاغذ TLC ناخالصی مشاهده نشد. طیف HPLC هم میزان ۹۹٪ خلوص را نشان داد.	۹۵	۳۰ گرم (٪/۰۴ مول)	۱۰۰ گرم (٪/۰۸۵ مول)	۲۷ گرم (٪/۰۰۵ مول)	بررسی تکراریزبری شرایط در مقیاس پنج‌برابر	۷
حد واسط کریستالی سفید مایل به صورتی پس از استخراج با اتر و شستشو با آب به دست آمد که در TLC تنها یک لکه مشاهده شد.	۹۴	۶۰۰ گرم (٪/۰۸ مول)	۲۰۰۰ گرم (٪/۰۸۵ مول)	۴۰ گرم (٪/۰۵ مول)	تولید حد واسط در مقیاس پنج	۸

می دهد که با استفاده از فسفریک اسید داخلی ۸۵٪ و با استفاده از مقادیر زیاد ترشیوبوتیل الکل (نسبت به  $m$ -کرزول) می توان به ماده واسط راندمان ۹۶٪ دست پیدا کرد. لازم به ذکر است در مرجع [۲۰] این ترکیب با استفاده از فسفریک اسید ۱۰۰٪، با راندمان ۶۴٪ بدست آمده است، که در آن علاوه بر پائین بودن راندمان، جداسازی محصولات جانبی با مشکل مواجه است.

همچنین روش ارائه شده در این مقاله برای تهیه ترکیب A.O.2246 نسبت به روش های دیگری که در منابع برای سنتز این ترکیب ارائه شده‌اند، دارای برتری هایی می‌باشد. راندمان بالای تولید محصول (۹۹/۶٪)، درصد خلوص بالای محصول (۹۸/۱۱٪)، مدت زمان کوتاه انجام واکنش (۲ ساعت) انجام واکنش در شرایط ملایم (بدون اعمال فشار یا دمای بالا) و امکان تولید واکنش در سنتز حد واسط -۲- ترشیوبوتیل -۴- متیل فنل می‌باشد.

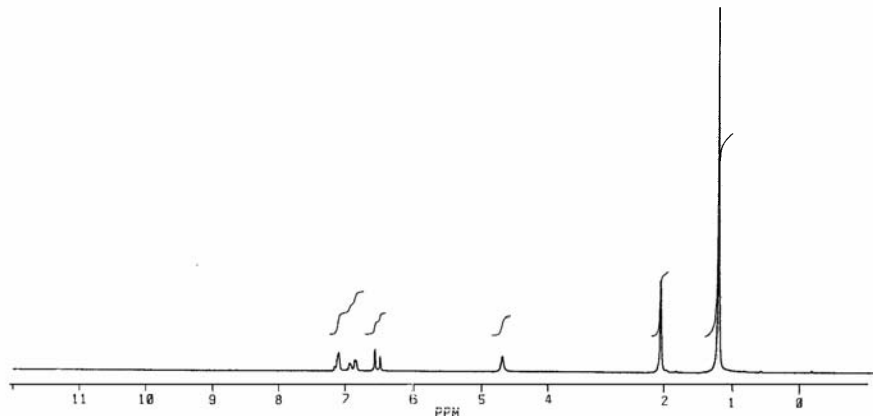
دستاورد این تحقیق سنتز حد واسط -۲- ترشیوبوتیل -۴- متیل فنل می‌باشد که بصورت تک محصول با راندمان بسیار خوب تولید می‌شود. عدم تولید مواد جانبی و مصرف کامل  $m$ -کرزول این امکان را فراهم نمود که بدون نیاز به مراحل سخت، زمانی و پیچیده استخراج های متوالی، با یک شستشوی ساده حد واسط بصورت کریستال جدا شد. همانطور که قبل از ذکر شد فسفریک اسید ۱۰۰٪ در دسترس نمی‌باشد، در این تحقیق با استفاده از تغییر در غلظت مواد واکنش دهنده موفق شدیم با استفاده از فسفریک اسید صنعتی ۸۵٪ با راندمان خیلی بالا حد واسط را تولید کنیم. از جمله مزایای دیگر تحقیق انجام شده بهینه سازی روش بر اساس استفاده از مواد صنعتی متداول و قابل دسترس در بازار و با هزینه پائین می‌باشد.

برای بررسی امکان پذیری افزایش مقیاس تولید، در دو مرحله افزایش مقیاس تولید انجام گرفت که نتایج نشانگر تکرارپذیری تولید و سنتز ترکیب حد واسط بصورت خالص، با راندمان بالا و بدون نیاز به انجام جداسازی می‌باشد (جدول ۲، ردیف های ۷ و ۸).

طیف  $^1\text{H-NMR}$  حد واسط -۲- ترشیوبوتیل -۴- متیل فنل در شکل (۹) نشان داده شده است. این ترکیب دارای ۶ نوع پروتون متفاوت می‌باشد. بر اساس نتایج حاصل از طیف  $^1\text{H-NMR}$  و همچنین مقایسه آن با طیف استاندارد گزارش شده در منابع سنتز حد واسط تأیید می‌گردد. که ۳ پروتون حلقه آروماتیک در ناحیه 6.42-7.04ppm ظاهر شده اند. پیک مربوط به OH فنلی در ناحیه 4.61ppm ظاهر شده است. و نهایتاً پیک مربوط به گروه ترشیوبوتیل در ناحیه 1.3ppm در طیف مشخص می‌باشد. اطلاعات طیف FT-IR تجربی آورده شده است. اندازه گیریهای HPLC خلوص ۹۹٪ را برای ترکیب حد واسط سنتز شده نشان داد.

#### ۴. نتیجه گیری

در روش ارائه شده در این مقاله برای سنتز ترکیب A.O.2246 از مواد اولیه -۲- ترشیوبوتیل -۴- متیل فنل، محلول ۳۵٪ فرمالدئید، سولفوریک اسید ۹۲٪ داخلی به عنوان کاتالیزور و ماده توزیع کننده سدیم دودسیل سولفات استفاده شده است. با توجه به گرانقیمت بودن ماده اولیه -۲- ترشیوبوتیل -۴- متیل فنل تهیه و بهینه سازی سنتز این ترکیب از ماده اولیه ترشیوبوتیل الكل در این پژوهش مورد نظر قرار گرفت (جدول ۲). نتایج جدول ۲ نشان



شکل ۹- طیف  $^1\text{H-NMR}$  ترکیب واسطه‌ی سنتز شده.

- [1]. Gurvich, Y. A.; Grinberg, A. A. "Method of Producing 2,2'-Methylenebis(4,6-dialkylphenols)."; U.S. Patent, 4,087,469, 1978.
- [2]. Takeshita, A.; Masaki, S.; Fujii, T.; Tokumaru, T.; Muyakami, A. "Method for Producing Hydroxy-Containing Alkylated Aromatic Compounds."; U.S. Patent, 4,912,264, 1990.
- [3]. Lokander, M.; Stenberg, B; Sarden, R. "A Novel Method for Determination of the Concentration of Active Antioxidant in Stored HTPB-Based Composite Propellants."; Propellants, Explosives, Pyrotechnics, 32, 272, 1998.
- [4]. Gonzalez, V. "Thermo-Oxidation of Elastomers by Differential Scanning Calorimetry."; Rubber Chem., Technol., 1981, 54, 134.
- [5]. Beck, W. H. "Pyrolysis Studies of Polymeric Materials Used as Binders in Composite Propellants: A review."; Combustion and Flame, 70, 171, 1987.
- [6]. Chhabra, J. S.; Athar, J.; Agranal, J. P.; Singh, H. "Comparative Study of Various Antioxidants for HTPB Prepolymer." Rubber and Composite Processing and Applications, 20, 305, 1993.
- [7]. Davis, A. R.; Sullivan, F. A. V. "2, 2'-Alkylene Bis-4, 6-dialkylphenols as Rubber Stabilizers."; U.S. Patent, 2,538,355, 1951.
- [8]. Sullivan, F. A. V.; Conn, G. "Process for Preparing Methylenebisphenols."; U.S. Patent, 2,796,445, 1957.
- [9]. Pullman, J. C.; Conn, G. "Stabilization of Polyethylene."; U.S. Patent, 2,675,366, 1954.
- [10]. Bigi, F.; Conforti, M. L.; Maggi, R.; Sartori, G. "Trialkylamine Controlled Phenol-Formaldehyde Reaction over Clay Catalysts: Selective and Environmentally Benign Synthesis of Salicylic Aldehydes."; Tetrahedron, 56, 2709, 2000.
- [11]. Gurvich, Y. A.; Grinberg, A. A.; Liakumovich, A. G.; Michurov, J. I.; Starikova, O. F.; Yanshevsky, V. A.; Kumok, S. T.; Styksin, E. L.; Rutman, G. I. "Production of 2,2'-Methylenebis(4,6-Dialkyl-Phenols)." U.S. Patent, 1,475,973, 1977.
- [12]. Cahill, P. J.; Decesosa, P.; "Synthesis of Bisdialkylphenols" U.S. Patent, 4,025,249, 1979.
- [۱۳]. فایز، ویلیامسون؛ ترجمه هروی، مجید؛ موتفق، برهمن؛ بکاولی، مهدی؛ عامل محابی، ابراهیم؛ "شیمی آلی تجربی"، انتشارات طاق بستان دانشگاه رازی، ص ۳۶۷، سال ۱۳۷۵.
- [14]. Cunill, F.; Tajero, J.; Izquierdo, J. F. "Trialkylamine Controlled Phenol-Formaldehyde Reaction over Clay Catalysts: Selective and Environmentally Benign Synthesis of Salicylic Aldehydes."; Appl. Catal. 34, 341, 1987.
- [15]. Merger, F.; Nestler, G. "Alkylation of Hydroquinone with Methyl tert-butylether and Tert-butanol"; Ger. Patent, 2,740,590, 1979.
- [16]. Haubold, F.; Seiffarth, K.; Gladigau, U.; Ger. Patent, 227960, 1985.
- [17]. Santacesaria, E.; Silvani, R.; Wilkinson, P.; Carra, S. "Alkylation of p-Cresol with Isobutene Catalyzed by Cation-Exchange Resins: a Kinetic Study."; Ind. Eng. Chem. Res. 1988, 27, 541.
- [18]. Macho, V.; Kavala, M.; Matsukova, M.; Holuik, J. "The Oxidative Dehydrogenation of Methylsobutyrate to Methylmetaacrilate." J. Ropu. Uhlie. 1981, 23, 26.
- [19]. Yadav, G. D.; Pujari, A. A.; Joshi, A. V. "Alkylation of Hydroquinone with Methyl-tert-butyl-ether and Tert-butanol."; Green Chemistry, 1999, 269.
- [20]. Hart, H.; Haglund, E. A. "o-t-Butylphenol."; J. Am. Chem. Soc. 1949, 71, 1966.
- [21]. Decastro, C.; Sauvage, E.; Valkenberg, M. H. "Immobilised Ionic Liquids as Lewis Acid Catalysts for the Alkylation of Aromatic Compounds with Dodecene."; Hoelderich, W. F. J. Catal. 2000, 196, 86.
- [22]. Ono, Y.; Imelik, B. "Catalysis by Zeolites", Elsevier, Amsterdam, 1980.
- [23]. Hino, M.; Arata, K. "Synthesis of Solid Superacid of Tungsten Oxide Supported on Zirconia and its Catalytic Action for Reactions of Butane and Pentane." J. Chem. Soc. Chem. Commun. 1988, 1259.
- [24]. Iglesia, E.; Soled, S. L.; Karmer, G. M. "Isomerization of Alkanes on Sulfated Zirconia: Promotion by Pt and by Adamantyl Hydride Transfer Species." J. Catal., 1993, 144, 238.
- [25]. Kuba, S.; Lukinskas, P.; Grasselli, R. K.; Gates, B. S. "Structure and Properties of Tungstated Zirconia Catalysts for Alkane Conversion." J. Catal. 2003, 216, 353.
- [26]. Boyse, R. A.; Ko, E. I. "Crystallization Behavior of Tungstate on Zirconia and Its Relationship to Acidic Properties." J. Catal. 1997, 171, 191.
- [27]. Sarish, S.; Devassy, B. M.; Halligudi, S. B. "Tert-Butylation of p-Cresol over WO<sub>x</sub>/ZrO<sub>2</sub> Solid Acid Catalysts."; Journal of Molecular Catalysis A, 2005, 235, 44.
- [28]. Dawson, R. M. C.; Elliott, D. C.; Elliott, W. H.; Jones, K. M. "CRC Handbook of Chemistry and Physics", 66<sup>th</sup> ed., CRC Press, Florida, 1985.